

III-39 粒子形状が力学特性に及ぼす影響について

大阪市立大学工学部 正員 三笠正人

高田直俊

○望月秋利

1. まえがき

先の報告⁽¹⁾で、砂質材料に対して、新たに考案した長目ふるいと通常の細ふるいとを組合せて用いることにより、粒子の偏平の度合に応じて材料を分類する実用試験法を提案した。また粒子形状が力学特性に与える影響について、締固め、および一面せん断試験の結果を示した。

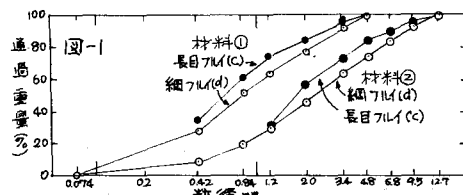
今回は、さらに材料の範囲を広げ、粒径と粒子形状とを種々組合せて試料に対して、粒子の形状の力学特性に及ぼす影響を、締固め、一面せん断、三軸圧縮試験などによって調べた結果を報告する。

2. 試料

ロックフィル・ダム材料として用いた新鮮な砂岩をさらに碎いて作ったもので、前報告で用いた材料①と、それより平均粒径の大きい材料②の2種類で、粒径、比重は表-1の通りである。

表-1 材料

材料名	粒径	比重
材料①	0.074~4.8 mm	2.714
材料②	0.074~12.7 mm	2.669



この材料①,②を、まず一連の細ふるいで各公称径ごとの材料を分け、粒径 $d_{4\%} \sim d_{10}$ ($d_{4\%}$: 上限値, d_{10} : 下限値) の粒子に対しては、これを更に d_{10} 以下のスリット巾を持つ3~4段重ねの長目ふるいによつてふるい分け、粒子の偏平の度合(以下粒子形状と称す。)の異なった4~5グループに分ける。その最初の長目ふるい(d_{10})を残留したものと偏平度0材料、次と偏平度I材料、以下順次偏平度II, III...材料と呼ぶ。(すなわち偏平度0の材料が、立方体形状は球体に最も近く、偏平度I, IIと重かかつて偏平な形状の材料となる。) 各粒径範囲の材料について、偏平度0, I, II...材料の含有割合を示したもののが、図-2(a), (b) (材料①, ②)である。両材料とも偏平Iの材料が特に多く、偏平度0, Iの材料を合せると、全体の80~90%近くを占めている。

力学試験に用いた試料は、上記の方法で粒径と粒子形状に従って分類したもの(A ケルーフ)と、これらをいろいろの割合で組合せたもの(B, C, D ケルーフ)である。

A: 単一粒径 単一粒子形状 試料

C: 混合粒径 単一粒子形状 試料

B: 単一粒径 混合粒子形状 試料

D: 混合粒径 混合粒子形状 試料

ただし今回の報告は A, B フルーフの結果のみについて行なう。またここでいう单一粒径、半ばは单一粒子形状とは、隣合うふるい目の大きさによって区切られた範囲のものである。なお試料は乾燥状態で実験を行なった。

3. 締固め試験

前報告で述べたごとく、このような砂質材料に対しては、ランマーによる締固めでは粒子の破碎が非常に多くなるので、まず次の方法により E_{max} , E_{min} の値を求める。

E_{max} の値は、円筒モールドに所定重量の試料をスプーンで静かに入れ、上面をならしてそのときの間ヶキ比を求める。これを 5 回繰返し、そのうち最小、最大値を取り除いた 3 者の平均値を E_{max} とする。

E_{min} は、その上に載荷量(表-2)を載せ、モールド全体をカムによ

って、1 cm の高さから毎秒 1 回の割で、900 回落すさせた後の値とする。間ヶキ比の測定は、載荷量を取り除いた後、試料上面にアクリル板を載せ、モールド上端からその高さまでを depth gauge で求める。はじめのうちは、カラーをはずして試料上面を整形して e を求める方法を用いていたので、

これを甲法、前述した方法を乙法と呼ぶが、 E_{min} の値は、どちらもほとんど差はなかった。表-2 にモールド径、試料重量、載荷量を示す。表中の()中の数字は、モールド径 5 cm のものの値を基準としたときの、各値の割合を示す。

i) 単一粒径 単一粒子形状試料の場合 図-4

(a), (b), (c) は、甲法による E_{max} , E_{min} の値を、粒径ご

とに示したものである。いつも偏平な材料ほど、 E_{max} , E_{min} の値が大きい。

図-5(a), (b), (c) は、材料②についての締固め過程を示したものである。この各試料の粒径を表めす指標として、各粒径範囲の上限値 d_{up} と下限値との平均径 d_{mean}

表-3 試料の平均粒径分布結果

$$(\log d_{mean} = \frac{\log d_{up} + \log d_{down}}{2})$$

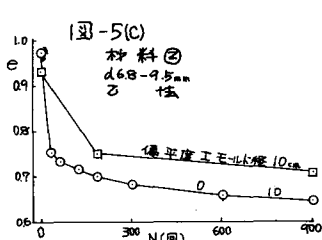
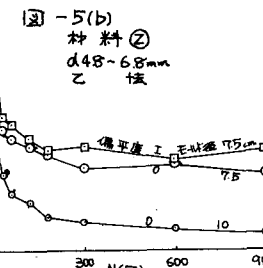
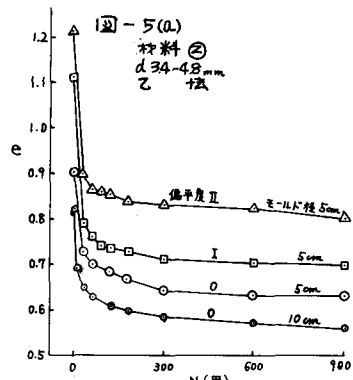
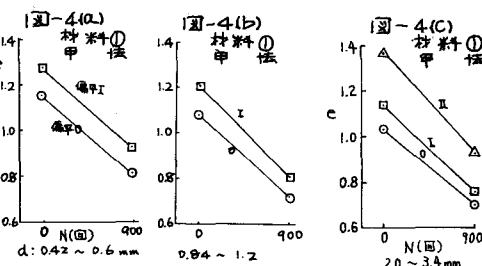
を求める。その値と偏平度 D, I 試料の E_{max} , E_{min} の値を表-3 に示す。この

実験は d_{mean}/D (D :モールド径) の

値を等しくしてあり(表-2, 3 参照)。各モールドにはほぼ同じ数の粒子が入っていると考えて良い。この結果を見ると、 E_{max} の値に多少の違いはあるが、I でも、 E_{min} の値は偏平度 D に依存しても、各々近い値を示している。

表-2 締固め試験条件

モールド径	試料重量	載荷量
10 cm	880 g	3200 g
5(1)	200(1)	621(1)
7.5(5)	675(3.4)	2065(3.3)
10(2)	1600(8)	5145(8.8)



ii) 単一粒径 混合粒子形状の場合

材料①の $0.34\sim4.8\text{mm}$ 粒径材料について、偏平度0、工材料の混入割合を種々に変えて試験1に結果を図-6,7に示す。図-6は、D10cmモード用いた場合のNとeの関係で、図-7は各混合比に対する e_{max} 、 e_{min} の値を示したものである。図-7によると、両端の单一粒子

形状試料のものが良く練まり、混合試料は練まらないという興味ある傾向が見られる。

4.せん断試験

今回の実験

は、改良型一面せん断試験機、三軸圧縮機で、圧密等圧せん断試験を行なったが、前回は主に一面せん

図-8

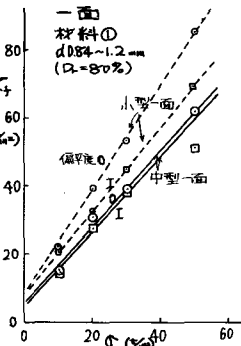


図-9(a)

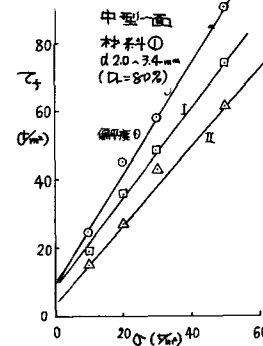


表-4 せん断試験条件

供試体径	せん断速度	
	載荷速度	ヒズミ速度
一面 小型 D6×2cm	4 t/min	0.5 mm/min
中型 D10×3		
三軸 D5×10 D7×14 D10×20	4 t/min	0.5 mm/min

図-9(b)

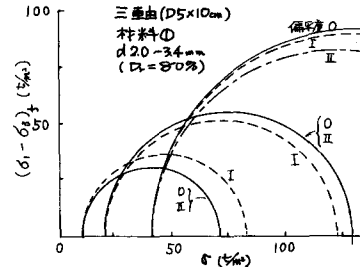


図-10(a)

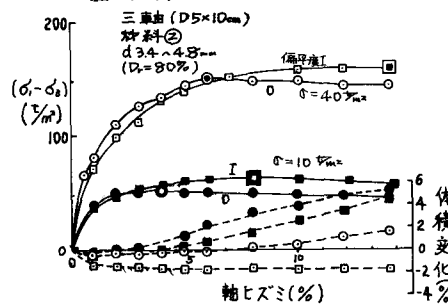
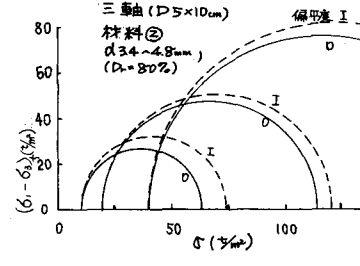
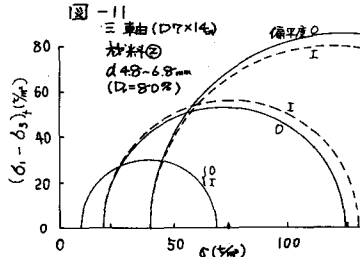


図-10(b)



i) 単一粒径 単一

粒子形状試料の場合 図-8には、 $0.84\sim1.2\text{mm}$ 、偏平度0、工試料の小型、中型一面による結果を、図-9(a)(b)には、 $2.0\sim3.4\text{mm}$ 、偏平度0、工Ⅰ、Ⅱ試料の中型一面、三軸圧縮試験による結果を示す。図-9(a)は前報告に出したのと同じ図であるが、そのとき偏平度Ⅰ、Ⅱの順でその強度が小さくなることを指摘した。ところが図-8によると、小型一面の場合は同じ傾向が見らるが、中型一面の場合はほとんど差がない。また図-9(b)、10(b)および11

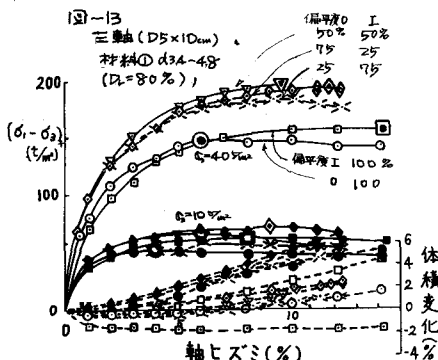
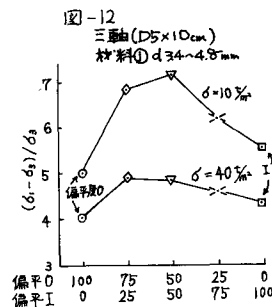


を見ると、三軸の場合には、それらにほとんど差がないといって良い。すなはち、粒子形状の及ぼす影響は、試験法、供試体寸法等によっても明らかに異なると考えねばならない。

図-10(a)は、図-10(b)の場合のせん断過程であるが、前報告の結果と同じく、偏平な試料のほうが最大せん断強さを示すヒズミは小さく、タイレタンシーは大きくなっている。

ii) 単一粒径 混合粒子

形状の場合 図-12は、図-1と同じ配合の試料を使った結果で、 $(\delta_1 - \delta_2)/\delta_2$ の値で示した。これによると、混合試料は、单一粒子形状試料のものと比較して、向か比率は大きいにもかかわらず(図-1でからわかる



ように)，強度が強く出ていることが注目される。

図-13に、それらのせん断過程を示した。タイレタンシーは、单一粒子形状試料より混合試料のほうが大きい。

5まとめ

以上の結果をまとめると

i) 単一粒径 単一粒子形状試料の締固め試験結果では、偏平な試料ほど ϵ_{max} , ϵ_{min} の値とともに大きく、縮半率は小さい。

この試料に対する一面せん断試験の結果は、一般に偏平度0試料のほうが大きな強度を示すが、三軸試験ではその差は顕著でない。また一面、三軸試験の結果とも、偏平度0試料の方がその破壊ヒズミは小さく、タイレタンシーは大きい。

ii) 単一粒径 混合粒子形状試料の締固め試験結果では、粒子形状を混合した試料の密度のほうが小さくなるが、同一相対密度(80%)での強度は、单一粒子形状試料よりも、混合試料のほうが大きい。タイレタンシーは、单一粒子形状試料より混合試料のほうが大きい。

最後に、実験に協力頂いた京阪電鉄・K.K. 西田實、当研究室の岡島洋一両君に感謝の意を表する。

参考文献 (1) 三笠、高田、望月：粒子形状の一試験法 土木学会年次学術講演会概要 1969. 9.

(2) 土質工学会せん断試験法委員会：一面せん断試験 土質試験法オ1回改訂版 1969.

(3) 三笠：三軸圧縮試験と一面せん断の試験機および試験法 第10回シンポジウム

土質工学会 1963